

АВТОМАТИЗАЦИЯ РЕШЕНИЯ ЗАДАЧИ О КРУЧЕНИИ СТЕРЖНЕЙ С ПРИМЕНЕНИЕМ АЛЬТЕРНАТИВНЫХ СЕРЕНДИПОВЫХ МОДЕЛЕЙ

Постановка проблемы. Конечно-элементный анализ получает все большее распространение в реальной инженерной практике и является наиболее подходящим для моделирования сложных физических процессов. В настоящее время этот метод заложен в основу подавляющего большинства систем автоматизированного проектирования во многих отраслях [1-3]. С его помощью рассчитываются напряжения, деформации, теплообмен, распределение магнитного поля, потоки жидкостей и другие задачи с непрерывными средами, решать которые другими методами оказывается затруднительно. Существующие программные системы, как правило, закрыты для пользователя, не позволяют вмешиваться в процесс расчета на уровне методов решения, а также исследовать задачи, решение которых не было предусмотрено разработчиками [3]. Эти недостатки приводят к необходимости разработки инструментальных программных средств, позволяющие расширить функциональные возможности, которые отсутствуют в существующих программных системах для более детального исследования как стандартных, так и новых альтернативных моделей [4-6,10].

Анализ предшествующих публикаций. Долгое время считалось, что на каждом серендиповом конечном элементе существует единственный базис – стандартный, который был получен алгебраическим способом [1,7]. В начале 80-х годов были предложены вероятностно-геометрические процедуры конструирования базисов конечных элементов различной конфигурации [8,9]. В [10] авторы показывают новый комбинированный алгебро-геометрический метод построения базисных функций на серендиповых конечных элементах. С помощью этого метода впервые удалось получить альтернативные базисы с управляющим параметром на биквадратичном серендиповом конечном элементе (СКЭ-8). Наличие параметра в функциях СКЭ-8 позволяет оптимизировать вычислительные качества полученных альтернативных моделей. Особый интерес представляют нестандартные серендиповы элементы, обеспечивающие физически адекватные интегральные характеристики.

Цель работы – разработка алгоритма и реализация в Maple решения задачи о кручении стержня некругового сечения с использованием альтернативных серендиповых моделей биквадратичного КЭ и сравнение полученных результатов.

Основная часть. Рассмотрим задачу о кручении стержня квадратного сечения, которая приведена в [16]. Пусть даны: модуль сдвига $\mu = 0,8 \cdot 10^7 \text{ Н/см}^2$; относительный угол закручивания (угол крутки) 1^0 на 100см ; площадь поперечного сечения 1см^2 ; $K_{xx} = K_{yy} = 1$. Найти поверхность напряжений и крутящий момент, возникающие при свободном кручении стержня.

В математической физике эта задача известна как задача Дирихле для уравнения Пуассона [13]:

$$\frac{\partial^2 \varphi}{\partial x^2} + \frac{\partial^2 \varphi}{\partial y^2} = -2\mu\theta, \quad \varphi|_{\Gamma} = 0. \tag{1}$$

Вариационная формулировка задачи о кручении стержня связана с минимизацией функционала:

$$\chi = \int_V \left(\frac{1}{2} \left(\frac{\partial \varphi}{\partial x} \right)^2 + \frac{1}{2} \left(\frac{\partial \varphi}{\partial y} \right)^2 - (2\mu\theta)\varphi \right) dV. \tag{2}$$

Функционал может быть записан в виде:

$$\chi = \int_V \left(\frac{1}{2} \{g\}^T [D] \{g\} - (2\mu\theta)\varphi \right) dV, \tag{3}$$

где $\{g\} = \left\{ \begin{matrix} \frac{\partial \varphi}{\partial x} \\ \frac{\partial \varphi}{\partial y} \end{matrix} \right\}$, $[D] = \begin{bmatrix} K_{xx} & 0 \\ 0 & K_{yy} \end{bmatrix}$.

Минимизация χ по $\{\Phi\}$ приводит к системе линейных уравнений:

$$\sum_{e=1}^E \int_{V^{(e)}} [g^{(e)}]^T [D^{(e)}] [g^{(e)}] dV = \sum_{e=1}^E \int_{V^{(e)}} [N^{(e)}]^T (2\mu\theta) dV, \tag{4}$$

$$\text{где } \{g^{(e)}\} = \begin{Bmatrix} \frac{\partial N_i^{(e)}}{\partial x} & \frac{\partial N_j^{(e)}}{\partial x} & \dots & \frac{\partial N_r^{(e)}}{\partial x} \\ \frac{\partial N_i^{(e)}}{\partial y} & \frac{\partial N_j^{(e)}}{\partial y} & \dots & \frac{\partial N_r^{(e)}}{\partial y} \end{Bmatrix} \begin{Bmatrix} \Phi_i \\ \Phi_j \\ \dots \\ \Phi_r \end{Bmatrix}$$

$[N_i, N_j, \dots, N_r]$ – функции формы КЭ,

$\{\Phi_i, \Phi_j, \dots, \Phi_r\}$ – узловые значения функции напряжений.

Сдвиговые напряжения, возникающие в стержне в результате действия крутящего момента M относительно оси z , могут быть вычислены в произвольной точке по формулам:

$$\tau_{zx} = \frac{\partial \varphi}{\partial y}, \quad \tau_{zy} = -\frac{\partial \varphi}{\partial x}. \quad (5)$$

Крутящий момент пропорционален объему, охватываемому поверхностью напряжений:

$$M = 2 \iint_{\Omega} \varphi dx dy, \quad (6)$$

где Ω – сечение стержня.

В силу симметрии области, решение выполняется на 1/4 части квадрата, заштрихованной на рис. 1. Разбиение заштрихованной области проводится на биквадратичные КЭ (рис. 2)[14].

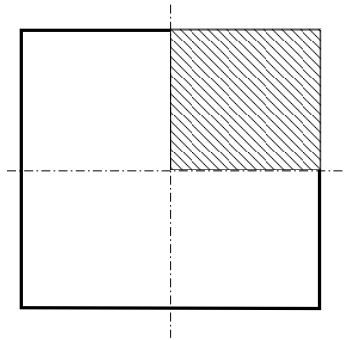


Рис. 1. Сечение стержня квадратного сечения

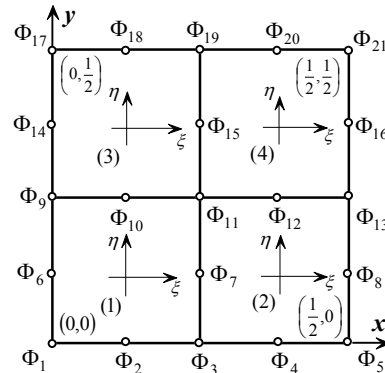


Рис. 2. Разбиение сечения на биквадратичные КЭ

Для биквадратичного КЭ комбинированным алгебро-геометрическим методом получены альтернативные базисные функции с управляющим параметром p [10]:

$$N_i = \frac{1}{16} (1 + \xi_i \xi) (1 + \eta_i \eta) [(36p - 1)(1 - \xi_i \xi - \eta_i \eta) + (36p + 3)\xi_i \xi \eta_i \eta], \quad (7)$$

$$i = 1, 3, 5, 7; \quad \xi_i, \eta_i = \pm 1.$$

$$N_i = \frac{1}{16} (1 - \xi^2) (1 + \eta_i \eta) [(5 - 36p) + (36p + 3)\eta_i \eta], \quad (8)$$

$$i = 2, 6; \quad \eta_i = \pm 1.$$

$$N_i = \frac{1}{16} (1 - \eta^2) (1 + \xi_i \xi) [(5 - 36p) + (36p + 3)\xi_i \xi], \quad (9)$$

$$i = 4, 8; \quad \xi_i = \pm 1.$$

Для разработки соответствующего алгоритма и процедур реализации будем придерживаться основных этапов решения задач в системах, реализующих МКЭ[15]. Все пакеты, реализующие метод конечных элементов, состоят из информационной и вычислительной частей (рис. 3).

Информационная часть - база данных (БД) пакета - содержит описания используемых данным пакетом типов элементов (библиотеку элементов), библиотеку материалов, справочную систему. Физически представляет собой набор файлов, расположенных в том каталоге, куда был установлен пакет.

Вычислительная часть пакетов МКЭ представляет собой набор модулей (называемых обычно процессорами), выполняющих определенные функции и объединенных общей оболочкой (реализация этой идеи различна в разных пакетах - модули могут представлять собой отдельные EXE-файлы, либо

входить в единый файл в виде подпрограмм). Среди процессоров обычно выделяют *препроцессор* (*preprocessor*) - модуль подготовки исходных данных, вычислительный процессор - *solver* (или вычислительные процессоры - для пакетов, решающих широкий круг задач) и *постпроцессор* (*postprocessor*) - средство визуализации и анализа результатов расчета.

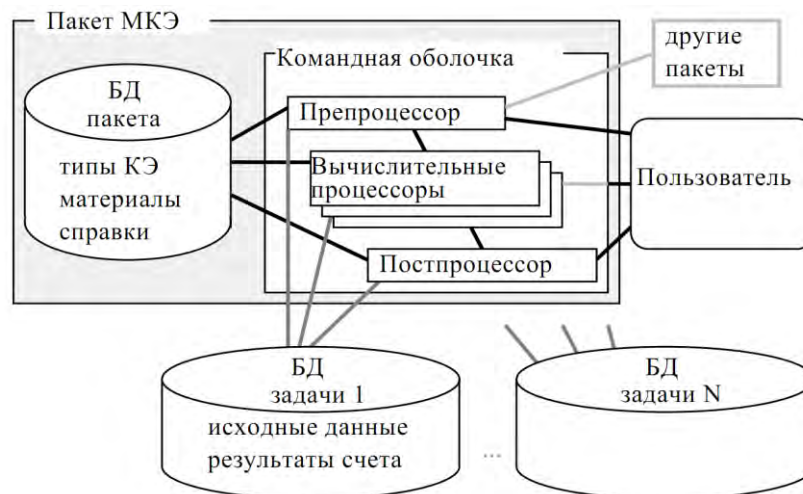


Рис.3. Пакет МКЭ. Общая структура

Блок схему решения задачи о кручении стержня представим на рис.4

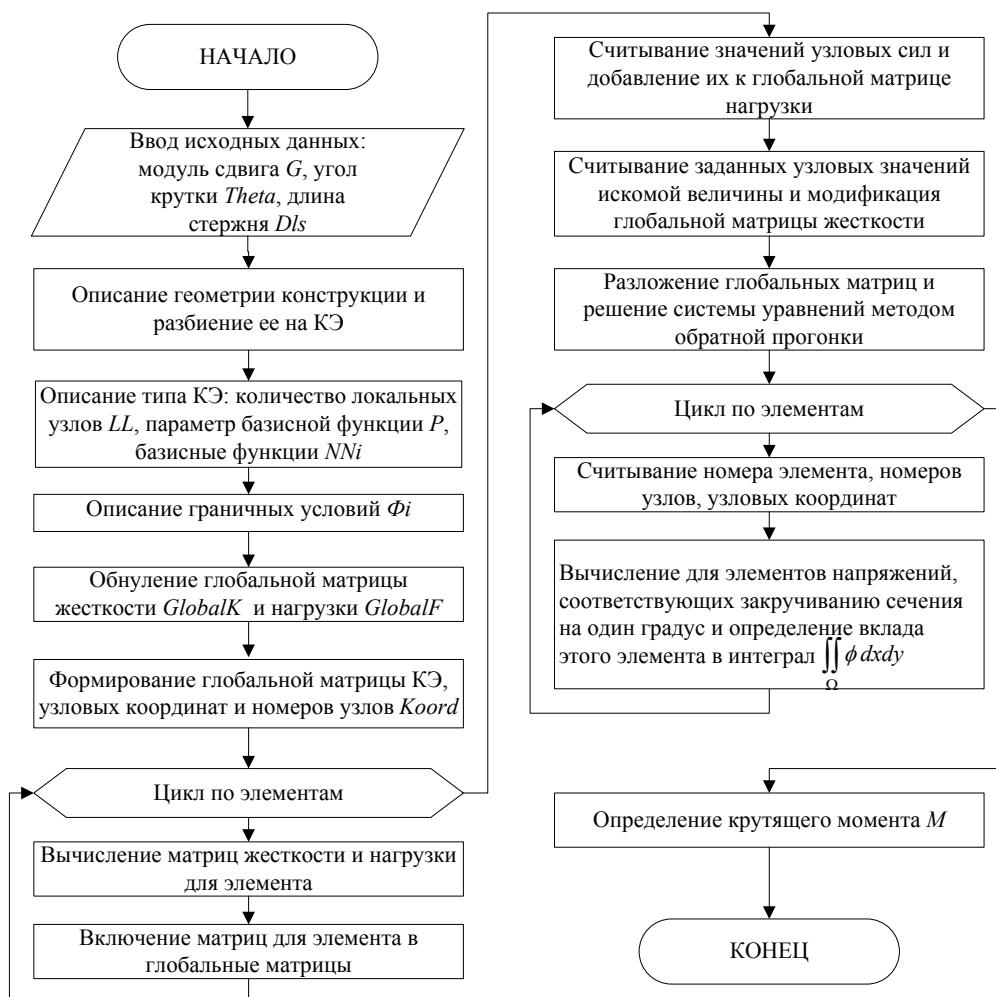


Рис.4. Блок-схема решения задачи о кручении стержня

Для регулирования сетки разбиения области на КЭ введем параметр *Rek* указывающий количество КЭ на одной стороне заштрихованной области сечения:

```

> restart : with(linalg) : with(LinearAlgebra) :

      Решение задачи о кручении стержня

> G := 0.8 · 107 :           # Модуль сдвига
   Dls := 100 :             # Длина стержня
   Theta :=  $\frac{1}{Dls} \cdot \frac{3.14}{180}$  :   # Угол закручивания на единицу длины
   a := 1 :                 # Длина стороны квадратного сечения
> Rek := 2 :                # Кол. КЭ на одной стороне области сечения
   LL := 8 :                # Количество локальных узлов КЭ
   p :=  $\frac{1}{18}$  :              # Параметр для базисных функций
   K := Rek2 :             # Кол. КЭ в области сечения
   if LL = 4 then
     FF := (Rek + 1)2      # Кол. глобальных узлов Ф
   elif LL = 8 then
     FF := (Rek · 2 + 1)2 - Rek2
   end if:
    
```

Базисные функции для биквадратического КЭ с управляющим параметром представим в виде:

```

> NN1 :=  $\left(\frac{-1}{16} + \frac{9}{4} \cdot p\right) \cdot (1-x) \cdot (1-y) \cdot \left(1+x+y + \frac{3 \cdot (1+12 \cdot p)}{36 \cdot p-1} \cdot x \cdot y\right)$  :
   NN2 :=  $\left(\frac{5}{16} - \frac{9}{4} \cdot p\right) \cdot (1-x^2) \cdot (1-y) \cdot \left(1 + \frac{3 \cdot (1+12 \cdot p)}{36 \cdot p-5} \cdot y\right)$  :
   NN3 :=  $\left(\frac{-1}{16} + \frac{9}{4} \cdot p\right) \cdot (1+x) \cdot (1-y) \cdot \left(1-x+y - \frac{3 \cdot (1+12 \cdot p)}{36 \cdot p-1} \cdot x \cdot y\right)$  :
   NN4 :=  $\left(\frac{5}{16} - \frac{9}{4} \cdot p\right) \cdot (1-y^2) \cdot (1+x) \cdot \left(1 - \frac{3 \cdot (1+12 \cdot p)}{36 \cdot p-5} \cdot x\right)$  :
   NN5 :=  $\left(\frac{-1}{16} + \frac{9}{4} \cdot p\right) \cdot (1+x) \cdot (1+y) \cdot \left(1-x-y + \frac{3 \cdot (1+12 \cdot p)}{36 \cdot p-1} \cdot x \cdot y\right)$  :
   NN6 :=  $\left(\frac{5}{16} - \frac{9}{4} \cdot p\right) \cdot (1-x^2) \cdot (1+y) \cdot \left(1 - \frac{3 \cdot (1+12 \cdot p)}{36 \cdot p-5} \cdot y\right)$  :
   NN7 :=  $\left(\frac{-1}{16} + \frac{9}{4} \cdot p\right) \cdot (1-x) \cdot (1+y) \cdot \left(1+x-y - \frac{3 \cdot (1+12 \cdot p)}{36 \cdot p-1} \cdot x \cdot y\right)$  :
   NN8 :=  $\left(\frac{5}{16} - \frac{9}{4} \cdot p\right) \cdot (1-y^2) \cdot (1-x) \cdot \left(1 + \frac{3 \cdot (1+12 \cdot p)}{36 \cdot p-5} \cdot x\right)$  :
    
```

Произведем обнуление глобальных матриц жесткости и нагрузки:

```

> GlobalK := array(1..FF, 1..FF) :      # Глобальная матрица жесткости
   LokalK := array(1..LL, 1..LL) :     # Локальная матрица жесткости
   GlobalF := array(1..FF) :           # Глобальная матрица нагрузки
   SDVIG := array(1..2, 1..K) :        # Матрица сдвиговых напряжений
   T := 0 :
   for i to FF do
     for j to FF do
       GlobalK[i,j] := 0 :
     end do:
     GlobalF[i] := 0 :
   end do:
    
```

Сформируем глобальную матрицу КЭ *Koord*[x1, y1, x2, y2, x3, y3, x4, y4, x5, y5, x6, y6, x7, y7, x8, y8, Фn1, Фn2, Фn3, Фn4, Фn5, Фn6, Фn7, Фn8]:

```

> kkk := matrix(Koord);

      kkk :=  $\begin{bmatrix} 0 & 0 & \frac{1}{8} & 0 & \frac{1}{4} & 0 & \frac{1}{4} & \frac{1}{8} & \frac{1}{4} & \frac{1}{4} & \frac{1}{8} & \frac{1}{4} & 0 & \frac{1}{4} & 0 & \frac{1}{8} & 1 & 2 & 3 & 7 & 11 & 10 & 9 & 6 \\ \frac{1}{4} & 0 & \frac{3}{8} & 0 & \frac{1}{2} & 0 & \frac{1}{2} & \frac{1}{8} & \frac{1}{2} & \frac{1}{4} & \frac{3}{8} & \frac{1}{4} & \frac{1}{4} & \frac{1}{4} & \frac{1}{4} & \frac{1}{8} & 3 & 4 & 5 & 8 & 13 & 12 & 11 & 7 \\ 0 & \frac{1}{4} & \frac{1}{8} & \frac{1}{4} & \frac{1}{4} & \frac{1}{4} & \frac{1}{4} & \frac{3}{8} & \frac{1}{4} & \frac{1}{2} & \frac{1}{8} & \frac{1}{2} & 0 & \frac{1}{2} & 0 & \frac{3}{8} & 9 & 10 & 11 & 15 & 19 & 18 & 17 & 14 \\ \frac{1}{4} & \frac{1}{4} & \frac{3}{8} & \frac{1}{4} & \frac{1}{2} & \frac{1}{4} & \frac{1}{2} & \frac{3}{8} & \frac{1}{2} & \frac{1}{2} & \frac{3}{8} & \frac{1}{2} & \frac{1}{4} & \frac{1}{2} & \frac{1}{4} & \frac{3}{8} & 11 & 12 & 13 & 16 & 21 & 20 & 19 & 15 \end{bmatrix}$ 
    
```

Расчет локальных матриц жесткости и нагрузки для каждого элемента с включение значений в глобальные матрицы представим в виде:

```

> for i to K do
  N(Koord[i, 17]) := NN1: N(Koord[i, 18]) := NN2: N(Koord[i, 19]) := NN3:
  N(Koord[i, 20]) := NN4: N(Koord[i, 21]) := NN5: N(Koord[i, 22]) := NN6:
  N(Koord[i, 23]) := NN7: N(Koord[i, 24]) := NN8:
  MT4b := matrix([[diff(N(Koord[i, 17]), x), diff(N(Koord[i, 18]), x), diff(N(Koord[i, 19]), x), diff(N(Koord[i, 20]), x),
    diff(N(Koord[i, 21]), x), diff(N(Koord[i, 22]), x), diff(N(Koord[i, 23]), x), diff(N(Koord[i, 24]), x)],
    [diff(N(Koord[i, 17]), y), diff(N(Koord[i, 18]), y), diff(N(Koord[i, 19]), y), diff(N(Koord[i, 20]), y), diff(N(Koord[i, 21]),
    y), diff(N(Koord[i, 22]), y), diff(N(Koord[i, 23]), y), diff(N(Koord[i, 24]), y)]]):
  KK := array(1..LL, 1..2, [[Koord[i, 1], Koord[i, 2]], [Koord[i, 3], Koord[i, 4]], [Koord[i, 5], Koord[i, 6]], [Koord[i, 7], Koord[i,
  8]], [Koord[i, 9], Koord[i, 10]], [Koord[i, 11], Koord[i, 12]], [Koord[i, 13], Koord[i, 14]], [Koord[i, 15], Koord[i, 16]]]):
  R := expand(multiply(MT4b, KK)):
  GG := inverse(R):
  SS := expand(multiply(GG, MT4b)):
  MT4btr := transpose(SS):
  S := det(R):
  fn := 2 * G * Theta * S:
  PR_SS_MT4btr := evalm('&*' (MT4btr, SS)):
  LokalKK := evalm(S * PR_SS_MT4btr):
  for ii to LL do
    for jj to LL do
      LokalK[ii, jj] := int(int(LokalKK[ii, jj], x=-1..1), y=-1..1):
    end do:
  end do:
  for ii to LL do
    for jj to LL do
      GlobalK[Koord[i, LL*2 + ii], Koord[i, LL*2 + jj]] := GlobalK[Koord[i, LL*2 + ii], Koord[i, LL*2 + jj]] + LokalK[ii, jj]:
    end do:
  end do:
  GlobalF[Koord[i, LL*2 + ii]] := GlobalF[Koord[i, LL*2 + ii]] + fn * (int(int(N(Koord[i, LL*2 + ii]), x=-1..1), y=-1..1)):
end do:
end do:

```

Затем применив метод, разложение глобальных матриц, решим систему уравнений методом обратной прогонки[16] и произведем вычисления соответствующих напряжений для каждого КЭ.

```

> for i to K do
  N(Koord[i, 17]) := NN1: N(Koord[i, 18]) := NN2:
  N(Koord[i, 19]) := NN3: N(Koord[i, 20]) := NN4:
  N(Koord[i, 21]) := NN5: N(Koord[i, 22]) := NN6:
  N(Koord[i, 23]) := NN7: N(Koord[i, 24]) := NN8:
  MT4b := matrix([[diff(N(Koord[i, 17]), x), diff(N(Koord[i, 18]), x), diff(N(Koord[i, 19]), x), diff(N(Koord[i, 20]), x),
    diff(N(Koord[i, 21]), x), diff(N(Koord[i, 22]), x), diff(N(Koord[i, 23]), x), diff(N(Koord[i, 24]), x)],
    [diff(N(Koord[i, 17]), y), diff(N(Koord[i, 18]), y), diff(N(Koord[i, 19]), y), diff(N(Koord[i, 20]), y), diff(N(Koord[i, 21]),
    y), diff(N(Koord[i, 22]), y), diff(N(Koord[i, 23]), y), diff(N(Koord[i, 24]), y)]]):
  KK := array(1..LL, 1..2, [[Koord[i, 1], Koord[i, 2]], [Koord[i, 3], Koord[i, 4]], [Koord[i, 5], Koord[i, 6]], [Koord[i, 7], Koord[i,
  8]], [Koord[i, 9], Koord[i, 10]], [Koord[i, 11], Koord[i, 12]], [Koord[i, 13], Koord[i, 14]], [Koord[i, 15], Koord[i, 16]]]):
  R := expand(multiply(MT4b, KK)):
  GG := inverse(R):
  MT4bm := matrix([[ -diff(N(Koord[i, 17]), x), -diff(N(Koord[i, 18]), x), -diff(N(Koord[i, 19]), x), -diff(N(Koord[i, 20]), x),
    -diff(N(Koord[i, 21]), x), -diff(N(Koord[i, 22]), x), -diff(N(Koord[i, 23]), x), -diff(N(Koord[i, 24]), x)],
    [diff(N(Koord[i, 17]), y), diff(N(Koord[i, 18]), y), diff(N(Koord[i, 19]), y), diff(N(Koord[i, 20]), y), diff(N(Koord[i, 21]),
    y), diff(N(Koord[i, 22]), y), diff(N(Koord[i, 23]), y), diff(N(Koord[i, 24]), y)]]):
  SS := expand(multiply(GG, MT4bm)):
  MT4F := transpose(matrix([[FFF(Koord[i, 17]), FFF(Koord[i, 18]), FFF(Koord[i, 19]), FFF(Koord[i, 20]), FFF(Koord[i,
  21]), FFF(Koord[i, 22]), FFF(Koord[i, 23]), FFF(Koord[i, 24])]])):
  SDVN := evalm('&*' (SS, MT4F)):
  SDVIG[1, i] := factor(SDVN[1, 1]):
  SDVIG[2, i] := factor(SDVN[2, 1]):
  S := 1/64:
  for ii to LL do
    T := T + 2 * S * FFF(Koord[i, LL*2 + ii]) * int(int(N(Koord[i, LL*2 + ii]), x=-1..1), y=-1..1):
  end do:
end do:

```

И определим крутящий момент:

```

> M := 4 * T; # Полный крутящий момент

```

M := 183.924059004674

С помощью разработанной процедуры проводилось тестирование альтернативных серендиповых моделей биквадратичного КЭ при разных значениях параметра p . Полученные результаты для функции напряжений и крутящего момента сравнивались с точным решением [12]. Относительные ошибки для функции напряжений и крутящего момента, которые получены МКЭ, с использованием альтернативных функций представлены в [14].

Выводы. В работе разработан алгоритм и программная реализация в Maple решения задачи о кручении стержня некругового сечения с использованием альтернативных серендиповых моделей биквадратичного КЭ. Разработанная процедура позволяет проводить исследования альтернативных моделей при решении практической задачи и сравнивать полученные результаты со стандартным базисом этого элемента.

ЛИТЕРАТУРА:

1. Зенкевич О. Метод конечных элементов в технике / О. Зенкевич. — М.: Мир, 1975. — 541 с.
2. Зенкевич О. Метод конечных элементов в теории сооружений и механике сплошной среды / О. Зенкевич, И. Чанг. — М.: Недра, 1974. — 238 с.
3. Метод конечных элементов: теория, алгоритмы, реализация / В. А. Толок, В. В. Киричевский, С. И. Гоменюк, С. Н. Гребенюк, Д. П. Бувайло. — К.: Наук. Думка, 2003. — 316 с.
4. Гучек П.И. Геометрическое моделирование и компьютерная визуализация базисов конечных элементов / П.И. Гучек // Нелинейные краевые задачи математической физики и их приложения. Сб. науч. тр. — К.: Ин-т математики НАНУ. — 1996. — С. 95-97.
5. Гучек П.И. Компьютерная визуализация функций формы конечных элементов / П.И. Гучек // Інтегральні перетворення та їх застосування до крайових задач — К.: Ін-т математики НАНУ. — 1997. — Вып. 14 — С. 79-81.
6. Гучек П.И. Інтерактивна процедура візуалізації функцій форми на серендипових елементах / П.И. Гучек, О.І. Литвиненко, А.Н. Хомченко // Вестник Херсонского национального технического университета. — 2012. — Вып. 1 (44). — С. 274-280.
7. Taylor R. L. On the completeness of shape functions for finite element analysis / R. L. Taylor // Internat. J. Numer. Methods Eng. — 1972. — V.4. — № 1. — P. 17-22.
8. Хомченко А.Н. О вероятностном построении базисных функций МКЭ / А. Н. Хомченко // Ивано-Франковск. ин-т нефти и газа. — Ивано-Франковск, 1982. — 5 с. — Деп. в ВИНТИ 21.10.1982, №5264.
9. Хомченко А.Н. Геометрия серендиповых аппроксимаций / А.Н. Хомченко, Е.И. Литвиненко, П.И. Гучек // Прикл. геом. и инж. графика. — К.: Будівельник, 1996. — Вып. 59. — С. 40-42.
10. Хомченко А.Н. Новый подход к построению базисов серендиповых элементов / А.Н. Хомченко, Е.И. Литвиненко, И.А. Астионенко // Геометричне та комп'ютерне моделювання. — 2009. — Вып. 23. — С. 90-95.
11. Попов Б.А. Приближение функций для технических приложений / Б.А. Попов, Г.С. Теслер. — Киев: Наукова думка, 1980. — 352 с.
12. Тимошенко С. П. Курс теории упругости / С. П. Тимошенко. — К.: Наукова думка, 1972. — 506 с.
13. Ильин В.П. Численные методы решения задач строительной механики / В.П. Ильин, В.В.Карпов, А.М. Масленников. — Минск: Вышэйшая школа, 1990. — 350 с.
14. Астионенко И.А. Применение альтернативных серендиповых моделей при решении задачи о кручении призматических стержней / И.А. Астионенко, П.И. Гучек, Е.И. Литвиненко, А.Н. Хомченко // Вестник Херсонского национального технического университета. — 2013. — Вып. 1 (46). — С. 356-361.
15. Чернявский. А. О. Метод конечных элементов. Основы практического применения / А.О. Чернявский. — М.: Машиностроение, 2003. — 29 с.
16. Сегерлинд Л. Применение метода конечных элементов / Л. Сегерлинд. — М.: Мир, 1979. — 392с.

ГУЧЕК Петр Иосифович – к.т.н., доцент кафедры информационных технологий Херсонского национального технического университета.

Научные интересы:

– методы восстановления функций, принцип барицентрического усреднения.